

時空間分割合成法による動画像処理

山本正信
(電子技術総合研究所)

1.はじめに 本稿は画像構造が変動する3次元運動系を対象とした動画像処理の新しい手法について述べるものである。動画像対象は、街頭下人や車が左右に行交う状況である。この動画像から、人、車など物体の追跡や物体相互の運動解釈を行なう。処理の困難さは、系が3次元的で奥行きを持つため、物体同士の重なり合い、新登場・消滅、再登場や背景の変動する場合があり得ることである。

よく知らぬ街頭の動画像処理の手法は、時間連続の2枚の画像間の差異を利用する方法である。物体、背景共に濃淡値が一様で、物体が背景より暗いならば、背景であつて、たとえりに物体が移動しておらずの場合やその逆の場合には2枚の画像の差分画像を使えば、移動物体の輪郭と移動量、移動方向がわかる。しかし、物体同士が部分的に重なり合つた場合や、複雑な屋外シーンでは、差分画像は、対象物の模様や動く背景との相対的変動に起因するとして伏あり、必ずしも移動体、輪郭、絶対的移動量や方向に対応するとは限らない。小領域間の類似検定を行なう、画像の変動を検出して例があるが、この手法は、小領域を用いたため精度に問題がある。車と人との問題は、Yachida⁽¹⁾らの研究で扱はれてゐるが、車と人との前に各物体の全輪郭モデルが得られておりわけづらくなつた。

本方式の概要を次に述べる。複数枚の時系列画像を順番に積み重ね一冊の本のようなものを作成する。これは奥行き方向を時間軸とする直方体である。この直方体を動画像空間とする。物体が運動すれば、その像上の点は動画像空間内に軌跡を描く、この軌跡を流跡

といふ。街頭の通行状況の様に、移動が水平方向の場合、動画像空間の水平軸、時間軸方向を含む断面画像には、流跡が複数模様となる、と記された。断面画像から抽出して流跡をたどることにより、対応する物体の追跡が可能となる。すなはち流跡同士の関係を調べることにより、対応する物体同士の相互運動関係を知ることが出来る。これらの事実を利用して、重なり合つた新登場・消滅、再登場の処理が行なえる。

2.運動の画像化

2.1 運動系のモデル 街頭下の通行状況とその撮像系を図2.1の様にモデル化する。カメラの位置、光軸が固定

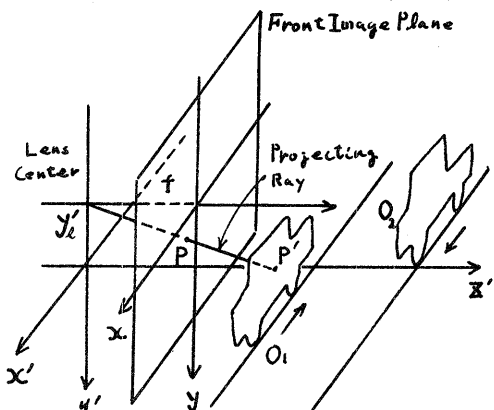


図2.1 運動系撮像系のモデル

1. 光軸方向は水平とする。運動系は、静止背景とその手前で運動するいくつかの運動物体（静止物体を含む）から構成される。運動物体の像は凸角領域である。運動は、水平面上で光軸に垂直方向の等速運動とし、位置によると物体像の変化はばらものとする。各運動物体のカメラからの距離は全く異なるものとし、人間の手足の様に対象物の部分的運動は黒視する。すなはち複数枚の凸四形が左右に運動してゐる。

7. 街頭通行状況をモデル化する。

丁度一定時間毎に撮像されたサンプル画像をフレームとよび、順番に積み重ね、丁度一列の本の様な直方体を構成する。この興行が時間軸である直方体を動画像空間とよぶ。物体上の点 $P' \sim (x', y', z')$ の各フレーム上の像の位置 $P \sim (x, y)$ は、物体の動きにつれ動画像空間内に軌跡を描く。この軌跡を流跡とよぶ。すなはち動画像空間中の任意の点 t に通過する流跡が存在する。点 P' と P は、次式の関係を満す。

$$x = f \cdot x' / z' \quad (1)$$

$$y = f \cdot (y' - y'_e) / z' \quad (2)$$

但し、 f はカメラの焦点距離、 y'_e はカメラの高さとする。

点 P' が x 軸方向に速度 v で移動するば、時刻 t における P の位置は次式の様に求まる。

$$x = f \cdot (v't + x'_0) / z'_0 \quad (3)$$

$$y = f \cdot (y'_0 - y'_e) / z'_0 \quad (4)$$

但し点 P' の初期位置を (x'_0, y'_0, z'_0) とする。これが動画像空間中の流跡の運動方程式である。(4)式で表された平面 O_1 、動画像空間中の水平断面となる。水平断面像は、動画像空間中の任意の高さで定義出来、その横軸座標が位置、縦軸座標が時刻である。断面画像上での像点 P の軌跡は、次式となる。

$$x = vt + x_0 \quad (5)$$

但し、 $v = f \cdot v' / z'_0$, $x_0 = f \cdot x'_0 / z'_0$

これが断面画像上で流跡の運動方程式である。流跡は直線でありその傾きが、移動速度となり、静止背景に対する流跡は、垂直線である。すなはち断面画像上の任意の点 t に於て、その点を通過する流跡が唯一本存在する。

図2.1の様に車が左石に行交する場合の動画像空間を図2.2、その水平断面像を図2.3に示す。

次に流跡の性質を若干挙げる。

性質1 任意の流跡は、ある物体上の点 t に対応する点 t に限る。

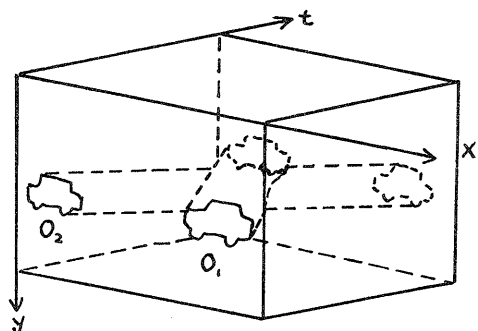


図2.2 動画像空間

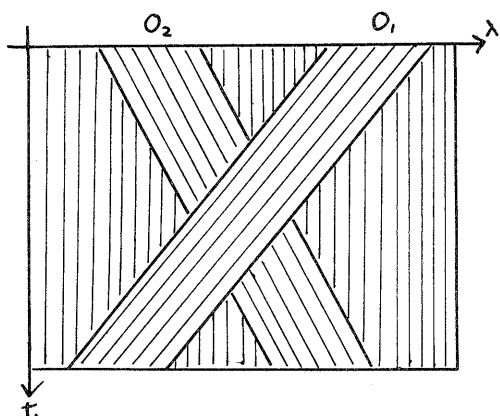


図2.3 断面画像

性質2 同一物体上の相異 t の点 t に対応する流跡は互に平行である。

性質3 水平運動する系では、任意の流跡は動画像空間の水平断面画像の一つ(=記号一つ)に限る。

性質4 相異 t の流跡は、同一点を共有しない。

2.2 流跡の分類 直線流跡は、その始点、終点、傾きによらず完全に特徴付けられる。ここでは、流跡が生じる始点と終点の位置を t が入り口、対応する物体の挙動と関係付けて分類を行おう。断面画像内に t 、一定時間、一定視野内の物体の挙動が記された。
断面画像の周辺領域を図2.4の様に定義する。流跡は、その始点、終点を微小時間で延長したとき、延長点が位置する領域により9つの型に分類される。表2.1は、その分類表であり、図2.5

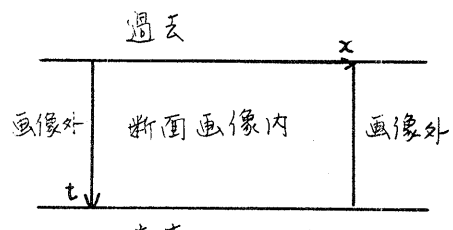
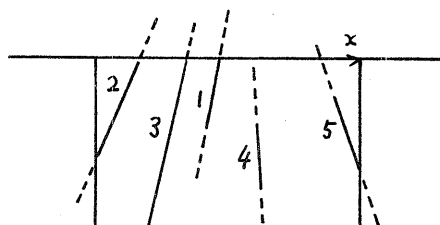
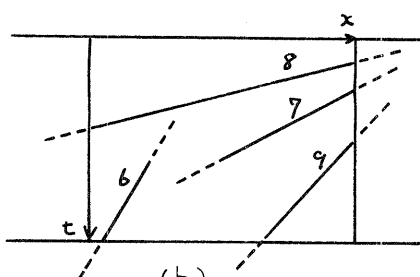


図 2.4 断面画像周辺。



(a)



(b)

図 2.5 流跡のタイプ。

1) 各々の流跡の型を描いておいて、実線は流跡、点線はその延長線である。

型	延長 始点位置	延長 終点位置	対応物体の挙動
1	過去 画面内	画面内	画面内に存在する後の陰に隠れる。
2	過去 画面外	画面内	画面内に存在する後の画面から外れる。
3	過去 未来	画面内	画面内に存在する後の画面に残る。
4	画面内 画面内	陰から出て、その後陰に隠れる。	
5	画面内 画面外	陰から出てその後画面から外れる。	
6	画面内 未来	陰から出てその後画面内に残る。	
7	画面外 画面内	画面内に登場、その後陰に隠れる。	
8	画面外 画面外	画面内に登場、その後画面から外れる。	
9	画面外 未来	画面内に登場、その後画面内に残る。	

表 2.1 流跡の分類

2.3 流跡同士の関係付け 途中で、消滅や発生を起すタイマーの流跡が複数存在するとき、そのうちの幾本が同一物体の同一点に対応する場合である。それ1=1丁。次の性質を満すことが必要十分である。

性質5 流跡 l_1, l_2 が同一直線上に存在するならば、 l_1, l_2 は同一物体の同一点に対応する流跡である。

この性質を満す2つの流跡は、同一点関係であるといふ。

性質6 同一点関係は同値関係である。

断面画像上の全ての流跡を同一点関係により類別すると、同値類を同一点流跡類とする。

性質7 同一点流跡類は、ある物体上のある点に一一対応する。

2.4 流域 物体に対する各流跡の断面画像上に占める領域を流域とする。断面画像上の各物体に對応する流域は分割される。物体が他の物体に隠されれば、流域は、図2.3の車O1は对于する流域の様に平行四辺形となる。他の物体は部分的に隠される場合、流域は他の物体の流跡により分割される。平行四辺形は凸多角形の一種であるが、凸多角形が直線により分割を受けると、結果はやはり凸多角形となる。すなはち、流域は凸多角形の集合となる。

この凸多角形中の流跡は、同じ物体上の点に対応しているので、同じ傾きを持った。そこでこの凸多角形を等傾凸多角形とする。

性質8 断面画像は、等傾凸多角形の集合に一意に分割される。この分割を△とする。

流跡の傾きによる断面画像の分割を考える。同じ傾きを持つ流跡の集合と等傾流跡群とする。その断面画像上に對応する領域を等傾流跡領域とする。等傾流跡領域はいくつかの閉領域

及而成り、その閾領域を等傾閾領域とする。

性質9 断面画像は等傾閾領域の集合に一意に分割される。この分割を Σ とす。

性質10 等傾凸多角形は、等傾閾領域に一致するか、含む。

等傾閾領域がいくつかの等傾凸多角形から構成されていとき、各等傾凸多角形に対応する物体同士は、見かけ上重なり合ってから等速度で移動する。したがって次の仮定が満たされると性質11が成立する。

仮定 物体同士が見かけ上重なり合ってから等速度で移動することがない。

性質11 上記の仮定が満たされると、等傾閾領域と等傾凸多角形は一致する。すなはち、分割 Σ と Δ は同じ分割である。

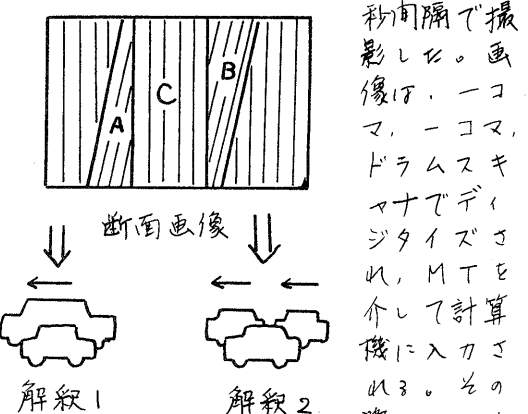
この仮定下、静止背景と静止物体が共存する場合に、満たされば、それらに対応する流域を断面画像から除く領域では、性質11が成立する。以下この仮定が満たさないものとする。

2つの等傾凸多角形があるとき、同一閾関係にある流跡が、それが他の等傾凸多角形内にあるだけ、2つの等傾凸多角形を同一物体関係にあるといふ。同一物体関係にある等傾凸多角形に対応する物体は、同じ物体である。しかし、同一物体関係には、等傾凸多角形に対応する物体が、同じ物体であると解釈することも可能である。図3.6は、その例で2通りの解釈を示してある。

性質12 同一物体関係は同値関係である。

性質13 断面画像上の全ての等傾凸多角形の集合を、同一物体関係により類別すると、その同値類は流域と何らかの子孫流域に含まれる。

3. 動画像データの入力。データは実際の街頭通行状況を10%フレームに1/



2.6 等傾凸多角形の解釈

毎切断され、専用のアダプタに接続され、ドラムに装填される。1フレームは、128点×80点、各点8ビットで入力され、全フレーム数は64フレームである。

図3.1は映画フレームの一コマを示す。図3.2はそのデジタルイメージレジストリジタル画像の例である。

図3.3は、時系列画像の一部を示している。また、図3.4は動画像空間の水平断面像(128点×64点、各点8ビット)の例である。

4. 流跡の抽出。断面画像から具体的に流跡を抽出する。

4.1 部分流跡の抽出。1本の流跡上の点は、物体上のある点の像であるので、その濃淡値は均一である。于て断面画像の任意の点を通る流跡が存在し、唯一一本に限る。しかし、真黒の背景中の真黒の運動物体の流跡は、抽出が困難であるようになり、抽出可能な流跡は限られてくる。抽出可能な流跡は、対象物体像のエッジ附近など、近傍点とのコントラストが大きい点を通過する流跡であることが多い。

流跡の検出には、エッジ検出アルゴリズムの適用が考えられるが、抽出可能な流跡が常に存在する場合や2種の流跡が近接してくる場合など、画像が複数のテクスチャの様相を呈してくる部

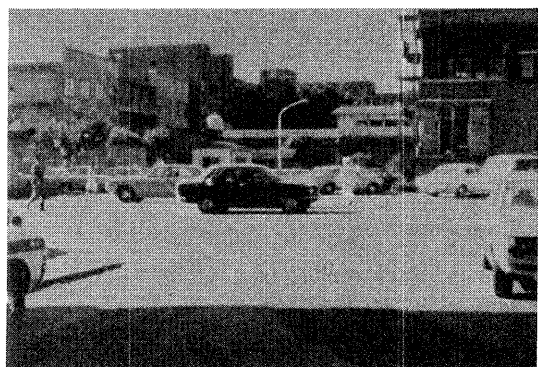


図3・1 原画像例 54フレーム

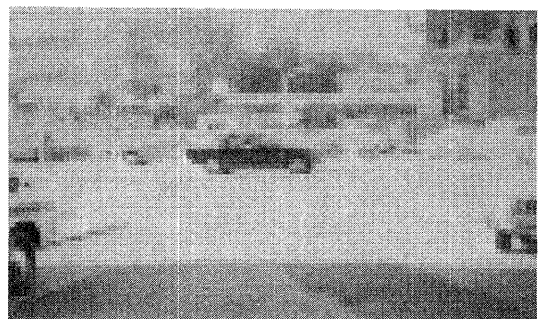
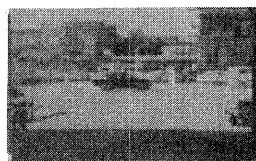
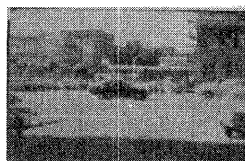


図3・2 図3・1 のデジタル画像



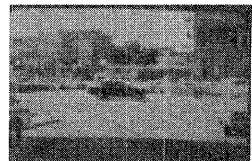
1フレーム



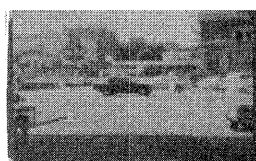
9フレーム



17フレーム



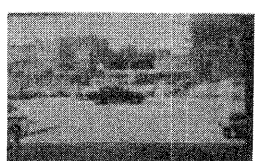
25フレーム



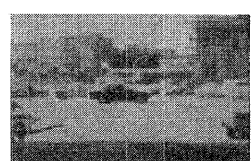
33フレーム



41フレーム

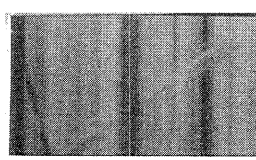


49フレーム

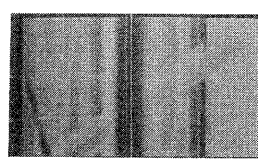


57フレーム

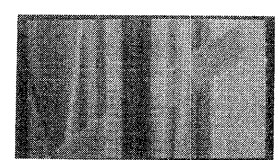
図3・3 時系列画像



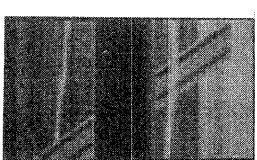
$y = 51$



$y = 52$



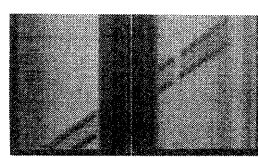
$y = 53$



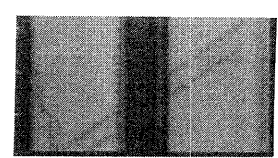
$y = 54$



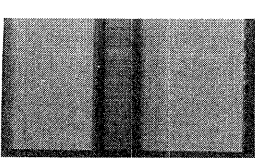
$y = 55$



$y = 56$



$y = 57$



$y = 58$

図3・4 水平断面像

分では、従来のエッジ検出オペレータをそのまま適用するには、精度的に問題があるであらう。そこで将来他の曲線運動系への拡張を考え、Hough変換によえて使用することにした。

物体像の移動速度を隣接フレーム間で、左右 $|I| = 2$ 画素以内とすれば、断面画像上の点 P を通る流跡は、 P 点のフレームを始めるフレームとして連続フレーム内では、図 4.1 の 29 種類のデジタル線分の 1 つにあらう。このデジタル線分を流跡線素とする。

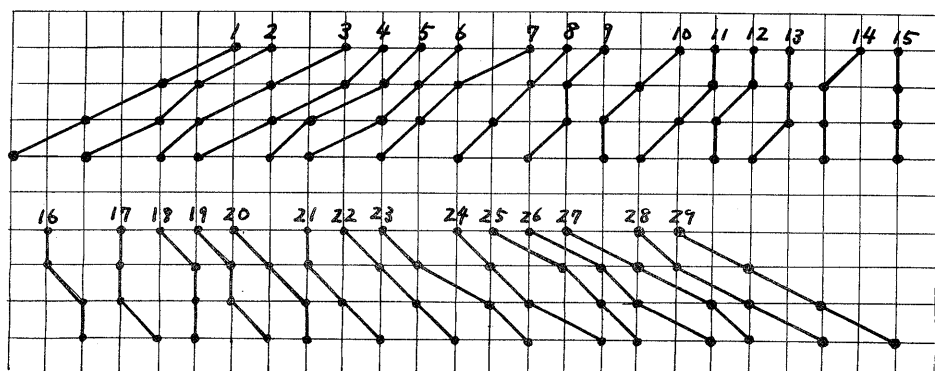


図 4.1 流跡線素

流跡線素の節点をフレームの順番に P_1 とするとき、 P_1 を始点、 P_{29} を終点とする。また各点の濃淡値を f_i とする。点列 $\{P_i\}$ の一画素左隣の点列を $\{q_i\}$ 、濃淡値を g_i 、右隣の点列を $\{r_i\}$ 、濃淡値を h_i とする。部分流跡である流跡線素を抽出する際に、抽出可能かどうか、可能なら何種類かのタイプかを決定しておけなければならない。

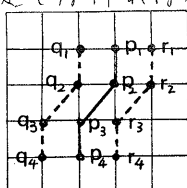


図 4.2 流跡抽出
 $\{P_i\}$ を部分流跡とする。

I. $\{P_i\}$ の分散 D_F^2 をすれば

$$D_F^2 \leq D_F^2$$

II. $\text{Max}\{\text{Min}(f_i - g_i), \text{Min}(f_i - h_i)\} > W_{th}$

III. 条件 I, II を満たす流跡線素が複数個存在するとき、その中で分散 D_F^2 が最小の流跡線素を部部分流跡とする。

測定値 W_{th} 、 W_{th} はノイズの大きさに依存する。スキャナの特性よりノイズの大きさは、濃淡値の大きさに比例してある。 $\{f_i\}$ の平均値を \bar{f} とすれば、実験の結果測定値は、

$$D_F^2 = 0.04872U + 1.68$$

$$W_{th} = 0.072U + 2.5$$

となる。図 4.3 は、断面画像に本オペレータを適用した結果である。印は抽出された流跡線素の始点であり、点列を線分で結んである。

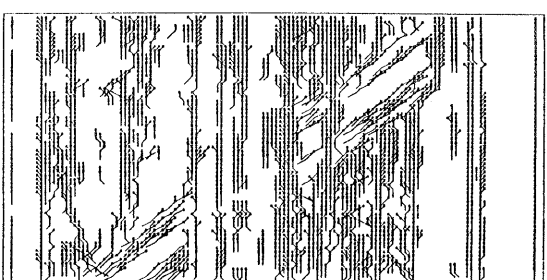


図 4.3 断面画像 ($y=54$) の流跡抽出

点列 $\{P_i\}$ が P を始点とする 29 種類の流跡線素候補のうち最初番目の流跡線素とする。次

の条件を満たすとき

4.2 流跡の簡素化。前節で得られた流跡は、運動系の特性から導かれ、流跡の性質と矛盾するものも含まれてある。本節では、流跡の性質に則ったいくつかの流跡変型規則を用いて、流跡のリラフゼーションを行なう。

まず性質 4 から、流跡同士の交差があり、または T とならぬ。最も他の流跡との

交差数の多い部分流跡線素から、順次
交差が行くほどまで消去していく。

同じく性質により、流跡の分岐・合
流点では、流跡の一方が他方を遮断する
様に変形する。すなはち、流跡は、直線で
あるが、ここでは、その規則を少し緩
めた。

I. 流跡は単調関数曲線である。

II. 流跡の任意の点に於ける曲率が一
定値以下である。

とすると、この2つの規則をもとに、流
跡の部分的修正と分割処理を行なう。
さらに、2つの流跡が同一点附近にあ
るとモ、両者を結ぶ延長線上に他の流
跡が存在しない場合、2つの流跡は、
延長結合される。図4.4は、リラクゼ
ーションの結果である。

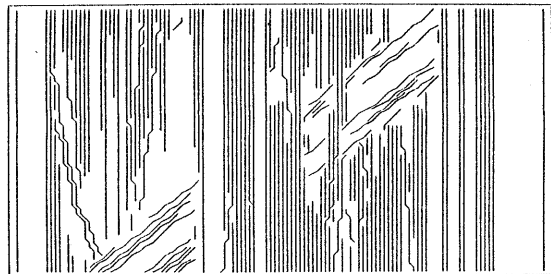


図4.4 断面画像($Y=52$)に対する流跡図

5. 物体の追跡と運動の解釈。得ら
れた流跡図を手がかりに、運動物体の
追跡と物体間の相互運動の解釈を行な
う。

追跡は、次の様な問題で手えられる。
①指定されたフレームで物体の領域が手
えられたとき、任意のフレームでの物
体の占める領域を求める。そのため
には、各断面画像上で、物体に対応す
る領域を知らねばならない。領域は、
次のアルゴリズムにより得られる。

《流域抽出アルゴリズム》

Step 1. 指定されたフレームでの物
体領域を通過する流跡の傾きを求める。
流域の傾きとする。

Step 2. 流域の傾きと同じ傾きを持つ
流跡の集合を取り出し、断面画像上
でそれらが占める領域、等傾流域領域
を求める。

このとき、第2章の仮定が満たされ
ておらず、性質11によると等傾流域領域
は、等傾凸多角形の集合となります。等
傾凸多角形は、一つの物体に対応す
る。

Step 3. 指定されたフレームの領域を
含む等傾凸多角形と同一物体周縁に
ある等傾凸多角形の集合を、性質13
から流域とみたす。

《終り》

流域抽出アルゴリズムの結果を示す。
追跡運動物体は、オートフレームで前半
分が見えている白い自動車と、画面右
半分に位置している人物とする。

図5.1抽出された流域である。
自動車、人物に対する流域の傾きは、
各々、 -1.2° , -0.0625 である。
 A_1, A_2, A_3 は車に対する流域、 B は人に對
する流域の等傾凸多角形である。物体
の追跡結果を図5.2に示す。各フレー
ム下物体の占める領域は、物体に対応
する流域中の流跡がフレームを通過す
る点の集合として示されている。

オートフレームでは、白い自動車は、部
分的にしか見えない(=も拘らず)、
その後、全貌の登場、一時的消滅、再
登場の場合も追跡が出来ている。また人
は、自動車がその背後を通過すること
により、背景が変動してしまはれること
により、背景が変動してしまはれること

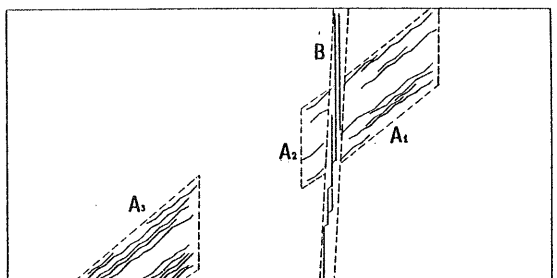


図5.1 断面画像($Y=52$)に対する抽出された流域

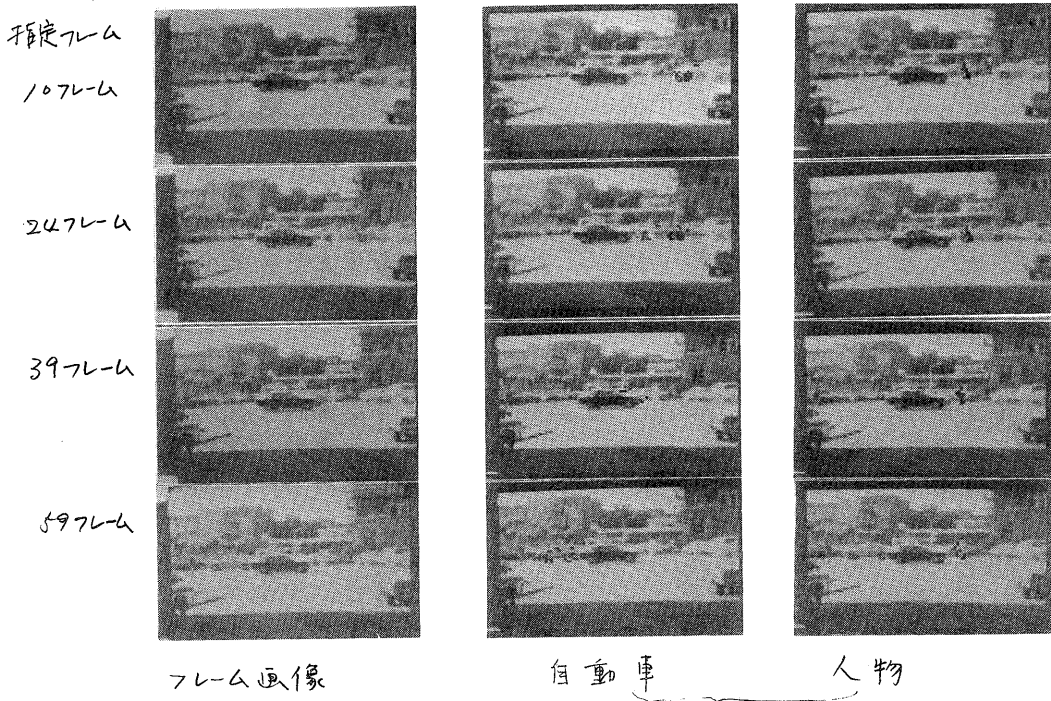


図 6.2 追跡結果

で追跡出来た。

物体相互の運動関係で、流域中の流跡の型を知ることが出来る。すなはち、追跡した車に対する流域の各等傾凸多角形内の主な流跡のタイプは、 A_1, A_2 で「 \times 」型、 A_3 で「 \triangle 」型である。この事実から次のことが言える。

■自・自動車は、物陰から登場し人物と黒い車の後を通じてゆく。
6. 結論 新しい動画像処理の手法を提案し、2次元運動系としては、簡単であるが画像として、比較的複雑な街頭の通行状況を取り上げ、重なり合、新登場、消滅、再登場まで物体の追跡と、物体相互の運動の解析を行った。

物体の特徴の一つである運動軌跡は動画像空間もしくはその断面画像に流跡として画像化され、流跡を抽出、解析することにより運動特性を知ることが出来る。各フレーム中の物体の位置やフレーム間の位置の変化を求めて運動の解析を行なう方法に比べて直捷的

であるといえる。

今後は物体の接近、後退、回転などをさらに複雑な次元運動系に対し手法の拡張を行なう。

謝辞 本研究の遂行にあたり、動画像データの入力、処理結果の表示に多くの御便宜をはかる、アーティスティック、当所パターン情報部の舟久保登氏と同部田村秀行氏に心から感謝いたします。また、貴重な御意見を頂いた当所 SPIDER 開発グループの方々にも感謝いたします。

Reference

- (1) Yachida,M., Asada,M. and Tsuji,S.
Automatic Motion Analysis System of
Moving Objects from Records of
Natural Processes,
Proc. 4th IJCP. pp 726-730 (1978)
- (2) Takagi,M. and Sakaue,k.
The Analysis of Moving Granules
in a Pancreatic Cell by Digital Moving
Image Processing,
ibid. pp 612-618 (1977)
- (3) Jain,R., Miltzer,D. and Nagel,H.H.
Separating Non-Stationary from Stationary
Scene Components in a Sequence of Real
World TV Images,
Proc. 5th IJCAI. pp 735-739 (1978)